

УДК 547.979.733

ИНГИБИРУЮЩЕЕ ВЛИЯНИЕ 2,6-ДИ-*трем*-БУТИЛФЕНОЛЬНЫХ ГРУПП В ПОРФИРИНАХ ЖЕЛЕЗА И МАРГАНЦА НА КАТАЛИТИЧЕСКУЮ АКТИВНОСТЬ В ОКИСЛЕНИИ УГЛЕВОДОРОДОВ ПЕРЕКИСЬЮ ВОДОРОДА

О.А. Герасимова, Д.Б. Шпаковский, Е.Р. Милаева, М. Лоулоуди*, Н. Хаджилиадис*

(кафедра органической химии; e-mail: olgagerasimova@inbox.ru)

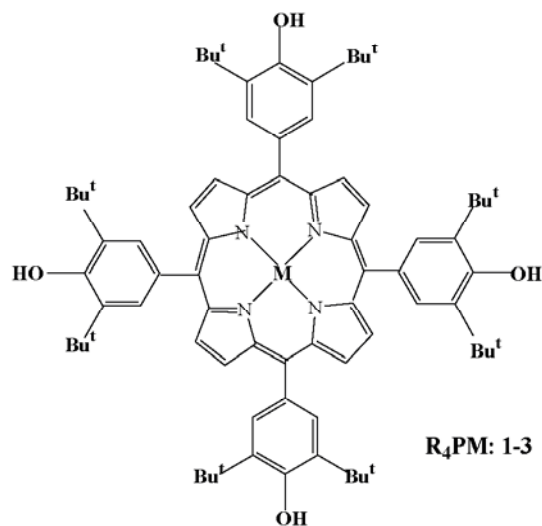
Синтезированы порфирины железа и марганца, содержащие 2,6-ди-*трем*-бутилфенольные группы (R_4PFeCl , R_4PMnCl), с целью дальнейшей иммобилизации на поверхность силикагеля с различными спейсарами. Изучено влияние этих соединений на процессы окисления алканов и алkenов перекисью водорода. Показано, что присутствие 2,6-ди-*трем*-бутилфенольных групп обуславливает снижение каталитической активности порфиринов в процессах окисления.

Применение порфиринов и их комплексов с различными металлами в фармакологии и медицине обусловлено их липофильными свойствами, обеспечивающими накопление этих соединений в липидном бислойе клеточных мембран и перенос в клетки живых организмов [1]. Однако структурное и функциональное родство синтетических металлопорфиринов с активными центрами оксидоредуктаз определяет их каталитическую активность в реакциях окисления биосубстратов. В результате этих побочных процессов использование порфиринов, например в диагностике, усложняется нежелательными процессами окислительной деструкции биологических субстратов. В этом случае предлагается одновременное использование антиоксидантов. Ранее мы показали, что введение в порфирины и фталоцианины антиоксидантных групп 2,6-диалкилфенолов позволяет получать полифункциональные системы. Такие соединения проявляют свойства катализаторов или антиоксидантов в зависимости от природы металла и условий процесса [2].

Настоящая работа посвящена получению порфиринов железа и марганца с 2,6-ди-*трем*-бутилфенольными группами в макрокольце и изучению их каталитической активности в окислительных процессах. Для моделирования оксигеназной активности были получены и изучены металлопорфирины, иммобилизованные на матрице силикагеля. Выбор спейсиров с координирующими группами имидазола был обусловлен моделированием природных гемовых систем, в которых атом железа связан с атомом азота имидазольного кольца гистидина.

Получение порфиринов, иммобилизованных на матрице силикагеля

В настоящей работе для установления роли антиоксидантных групп в каталитической активности порфиринов использовали соединения с 3,5-ди-*трем*-бутил-4-гидроксифенильными заместителями в мезоположениях. Свободное основание 5,10,15,20-тетракис(3,5-ди-*трем*-бутил-4-гидроксифенил)-21Н,23Н-порфирин (1) синтезировано по методу Ротемунда конденсацией альдегида с пирролом в пропионовой кис-

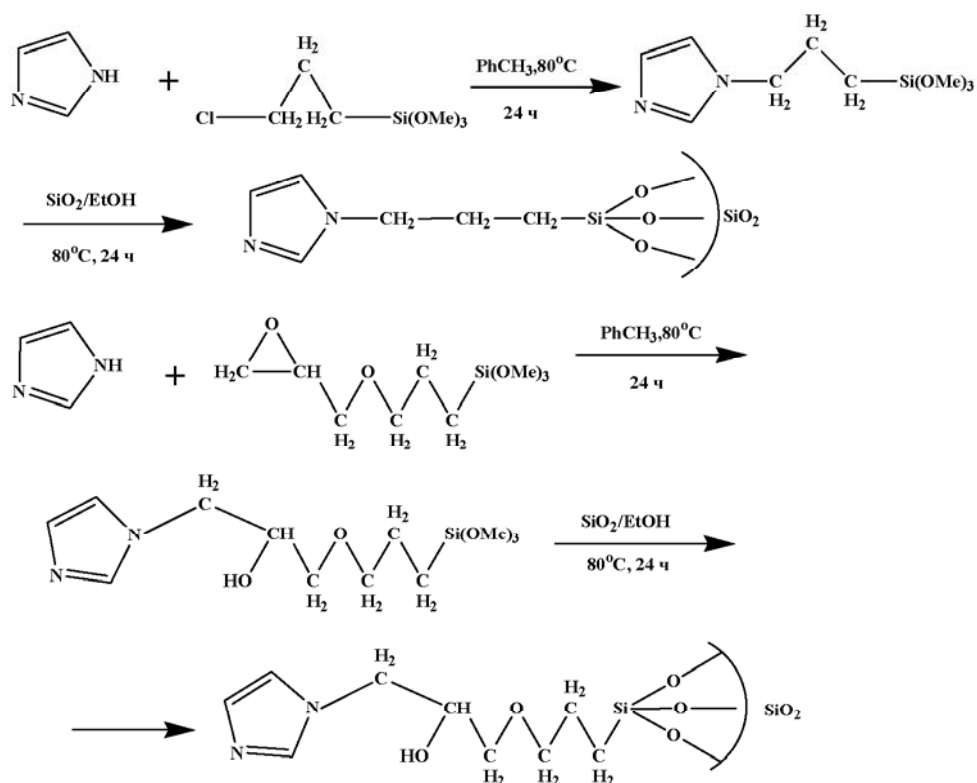


$M = \text{III (1); FeCl (2); MnCl (3)}$

Рис. 1. Комплексы 5,10,15,20-тетракис(3,5-ди-*трем*-бутил-4-гидроксифенил)-21Н,23Н-порфирина (1) с металлами – Fe (2) и Mn (3)

*Университет г. Иоаннина, Иоаннина, Греция.

Схема 1



лоте, и на его основе получены комплексы с металлами (Fe, Mn) (**2**, **3**) [3–5] с выходом 70–80%, охарактеризованные данными электронной спектроскопии поглощения [4, 9].

С целью иммобилизации порфиринов на матрице силикагеля впервые синтезированы модифицированные различными связывающими группами силикагеля металлопорфирины (схема 1) по аналогии с ранее описанными методами [6, 7]. Сначала были получены модифицированные силикагели, содержащие в каче-

стве координирующей группы имидазол (рис. 2). Модификацию порфиринами силикагелевой матрицы осуществляли путем образования координационной связи между атомами азота имидазольного кольца и атомами металла макроциклической молекулы. По отношению к металлопорфирину группы имидазола выступают в качестве аксиальных лигандов соответствующих спейсеров **L₁** и **L₂**.

Идентификацию полученных в работе модифицированных силикагелей проводили по данным ИК-спект-

$R_4PFeClL_1$ (**4**), $R_4PFeClL_2$ (**5**), $R_4PMnClL_1$ (**6**), $R_4PMnClL_2$ (**7**)

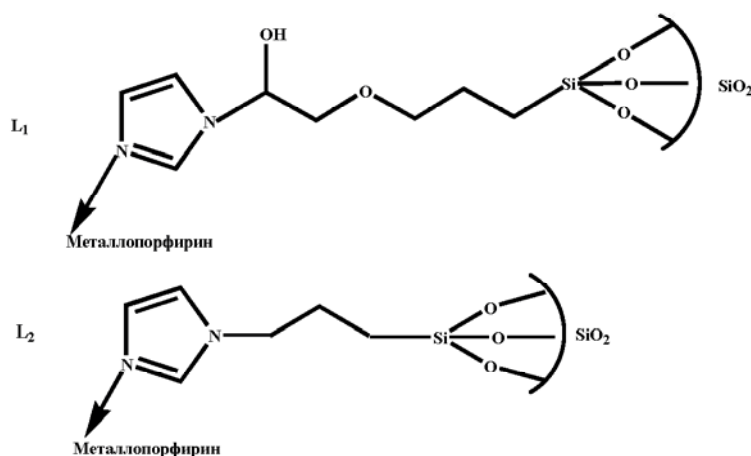
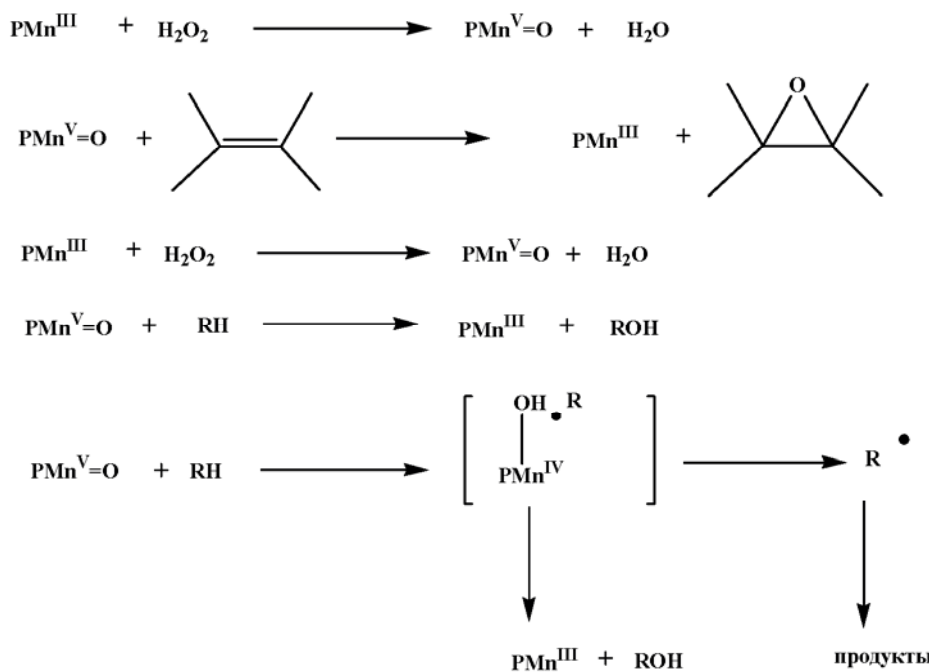


Рис. 2. Комплексы мезо-тетракис(3,5-ди-трем-бутил-4-гидроксифенил)порфирина (R)

Схема 2



троскопии, электронной спектроскопии поглощения и термодинамического анализа. Для всех соединений, содержащих фрагмент \mathbf{L}_1 , характерны полосы валентных колебаний связей C–O в области 1510–1520 cm^{-1} , C=N в области 1675 cm^{-1} некоординированного имидазола, а в случае комплексов \mathbf{L}_1 с порфиринаами наблюдается сдвиг полосы C=N в длинноволновую область 1655–1630 cm^{-1} , что свидетельствует о координации иона металла с атомом азота. Для группы O–H наблюдается широкая полоса валентных колебаний в области 3300–3500 cm^{-1} для \mathbf{L}_1 и иммобилизованных порфиринов (**4**, **6**) и узкая полоса валентных колебаний связей O–H в области 3600 cm^{-1} , характерная для 2,6-ди-*трем*-бутилфенольных групп. Для соединений, содержащих фрагмент \mathbf{L}_2 , характерны полосы валентных колебаний связей C=N в области 1671 cm^{-1} некоординированного имидазола, а в случае комплексов \mathbf{L}_2 с порфиринаами металлов наблюдается сдвиг полосы C=N в длинноволновую область 1630–1620 cm^{-1} , что, как и в случае соединений на основе \mathbf{L}_1 , свидетельствует о координации иона металла с атомом азота.

Активность металлопорфиринов в процессе окисления алканов и алкенов пероксидом водорода

Известно, что тетраарилпорфирины железа и марганца проявляют свойства катализаторов в процессах

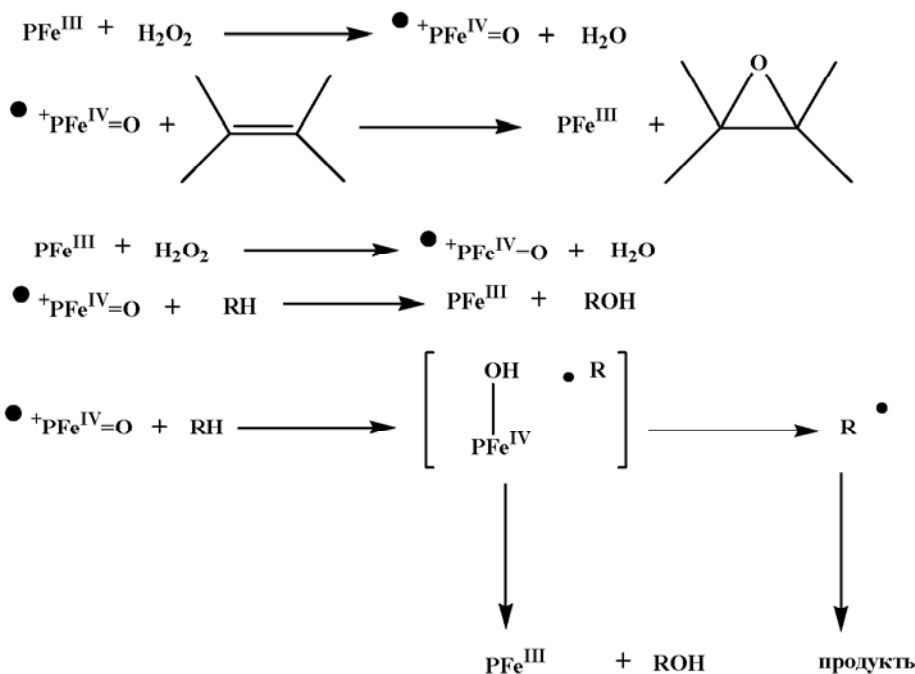
окисления алканов и эпоксидирования алканов [10, 11]. Раннее было изучено влияние мезо-тетраарилпорфиринов железа и марганца, неиммобилизованных и иммобилизованных на матрицу, на процессы окисления углеводородов перекисью водорода. Соединения, описанные в литературе, обладали каталитическим эффектом [8, 12–14].

Подробно обсуждался механизм окисления алканов, общие схемы процесса эпоксидирования алканов и гидроксилирования алканов в присутствии порфиринов железа и марганца [12]. Действие порфирина марганца представлена следующими стадиями (схема 2). Для порфирина марганца характерно образование каталитически активной частицы – оксокомплекса с металлом в степени окисления +5 ($\text{PMn}^{\text{V}}=\text{O}$). Такие частицы являются биомиметиками монооксигеназ, они осуществляют перенос атома кислорода к молекуле субстрата.

Для порфирина железа характерно образование другого интермедиата – катион-радикальной формы лиганды в порфирине железа в степени окисления +4 (схема 3). Нами изучено влияние металлопорфиринов **2**, **3** без носителей и порфиринов **4–7**, иммобилизованных на силикагелевой матрице, на процессы окисления алканов и алканов пероксидом водорода.

В табл. 1 представлены данные образования эпоксидов при окислении циклооктена пероксидом водорода в присутствии добавок металлопорфиринов иммо-

Схема 3



билизованных на матрице силикагеля (**4–7**) и без носителей (**2, 3**).

Известно, что в такой системе хлорзамещенный мезо-тетрафенилпорфирины марганца проявляют каталитическую активность [8]. В случае же использования порфирина Mn, содержащего 2,6-ди-*трет*-бутилфенольные группы (**3**), каталитический эффект практически не проявляется как для неиммобилизованных, так и

для иммобилизованных порфиринов. Порфирины железа (**2, 4, 5**) практически не оказывают влияния на образование эпоксидов циклооктена при окислении H_2O_2 .

В табл. 2 представлены данные окисления циклогексена H_2O_2 в присутствии металлопорфиринов, иммобилизованных на носителе (**4–7**). В ходе реакции образуются эпоксиды циклогексена и циклогексанон-2-ен.

Иммобилизованный на силикагель с длинным спейсером (**L₁**) порфирины марганца, содержащий 2,6-ди-*трет*-бутилфенольные группы (**6**), проявляет каталитическую активность, но менее выраженную, чем в случае его фенильного аналога [14], при этом процессы не являются селективными. В присутствии иммобилизованных на носителях с длинной (**L₁**) и короткой (**L₂**) цепью порфирины железа **4, 5** образуется циклогексанон-2-ен с селективностью близкой к 100%, но выходы продуктов являются незначительными.

В табл. 3 представлены данные окисления циклогексана H_2O_2 в присутствии металлопорфиринов (**2–7**). В ходе реакции образуются циклогексанол и циклогексанон.

Все добавки порфиринов оказывают незначительное влияние на образование продуктов окисления, но важно отметить, что все металлопорфирины, не связанные с носителем, обладают более выраженными каталитическими свойствами, чем их иммобилизованные аналоги. Такие данные соответствуют литератур-

Таблица 1

Выходы эпоксидов при окислении циклооктена H_2O_2 в присутствии металлопорфиринов, иммобилизованных на матрице силикагеля с различными спейсерами (4–7**) и без носителей (**2, 3**)***

Порфирин	Эпоксиды, %	$TOF \times 10^{-2}$
R ₄ PFeCl (2)	>1	0,86
R ₄ PMnCl (3)	2	4,68
R ₄ PFeClL ₁ (4)	1	0,08
R ₄ PFeClL ₂ (5)	>1	0,04
R ₄ PMnClL ₁ (6)	>1	0,04
R ₄ PMnClL ₂ (7)	2	0,16

*Время реакции с нанесенными металлопорфиринами составляет 24 ч, без носителя – 1 ч; условия приведены в экспериментальной части.

Таблица 2

Выходы продуктов и селективность при окислении циклогексена H_2O_2 в присутствии металлопорфиринов с различными спейсарами, иммобилизованных на носителе (4–7)

Порфиrin	Эпоксид (%)	Кетон (%)	Общий выход продуктов (%)	Селективность по эпоксиду (%)	Селективность по кетону (%)
R ₄ PFeClL ₁ (4)	0	9	9	0	100
R ₄ PFeClL ₂ (5)	>1	8	9	5,6	94,4
R ₄ PMnClL ₁ (6)	6	13	18	30,5	69,5
R ₄ PMnClL ₂ (7)	2	5	7	32,0	68,0

*Время реакции с нанесенными металлопорфиринами составляет 24 ч, условия приведены в экспериментальной части.

Таблица 3

Выходы продуктов при окислении циклогексана H_2O_2 в присутствии металлопорфиринов 2–7

Порфиrin	Циклогексанол (%)	Циклогексанон (%)	TOF × 10 ⁻⁴ (спирт)	TOF × 10 ⁻⁴ (кетон)
R ₄ PFeCl (2)	>1	>1	22,0	28,0
R ₄ PMnCl (3)	>1	0	24,0	0
R ₄ PFeClL ₁ (4)	>1	>1	5,0	3,8
R ₄ PFeClL ₂ (5)	>1	>1	5,4	1,3
R ₄ PMnClL ₁ (6)	1	0	8,0	0
R ₄ PMnClL ₂ (7)	>1	1	3,0	11,5

*Время реакции с нанесенными металлопорфиринами составляет 24 ч, без носителя – 1 ч; условия приведены в экспериментальной части.

Таблица 4

Выходы продуктов и селективность при окислении гексана H_2O_2 в присутствии металлопорфиринов, иммобилизованных на носителе с длинной связывающей цепью (L₁) (4, 6)

Порфиrin	Спирт (%)	Кетон (%)	Общий выход продуктов (%)	Селективность по спирту (%)	Селективность по кетону (%)
R ₄ PFeClL ₁ (4)	6	3	9	67,2	32,8
R ₄ PMnClL ₁ (6)	7	4	11	67,3	32,7

*Время реакции с нанесенными металлопорфиринами составляет 24 ч.

ным [15] и объясняются, по-видимому, блокированием аксиальных положений металлопорфиринов при координации с группами имидазола спейсера.

В табл. 4 представлены данные, полученные при окислении гексана H_2O_2 в присутствии металлопорфиринов, иммобилизованных на носителе с длинной

связывающей цепью (**L₁**) (4, 6). В процессе окисления образуются гексанол-2 и гексанон-2.

Из полученных данных следует, что каталитическая активность порфиринов определяется несколькими факторами: природой металла, наличием антиоксидантных фенольных групп, иммобилизацией на поверхность носителя и природой связывающей группы носителя. Объяснение полученных нами экспериментальных результатов связано, по-видимому, с образованием разных промежуточных частиц в случае порфиринов с фенольными группами. На основании предварительных данных можно высказать предположение, что основным направлением является участие в данном процессе антиоксидантной фенольной группы: по механизму меж- или внутримолекулярного переноса электрона и протона.

Таким образом, можно предположить, что введение 2,6-ди-*трем*-бутилфенольных групп в порфирины Mn и Fe приводит к резкому снижению их каталитической активности.

Экспериментальная часть

Электронные спектры поглощения регистрировали на спектрофотометре "Cari-219 Varian" (UV/VIS/NIR Jasco), ИК-спектры поглощения записывали на спектрофотометре "IKAP" с преобразованием Фурье в таблетках KBr, "Spectrum GX Perkin-Elmer FT-IR system". Термодинамический анализ (ТДА) выполняли на приборе "Shimadzu DTG-60". Хроматографический анализ проводили на приборе "Shimadzu GC-17A" (газовый хроматограф в сочетании с масс-спектрометром "GCMS-QP5000"). Тонкослойную хроматографию осуществляли на пластинках "Silufol UV-254". Колоночную хроматографию проводили с использованием окиси алюминия (нейтральная по Брокману) и силикагеля (40/100).

Порфирины **1**, **2** и **3** были синтезированы по описанным ранее методикам [3–5], очистку проводили методом колоночной хроматографии на силикагеле, в качестве элюанта использовали CHCl₃ и смесь, состоящую из 80% CHCl₃ и 20% гексана.

Модификация силикагеля (3-глицидилоксипропил)триметоксисиланом (L₁) проводили по методике [6]. К раствору 3 ммоль (0,204 г) имидазола в 50 мл толуола добавляли 3 ммоль (0,663 мл) (3-глицидилоксипропил)триметоксисилана, кипятили при перемешивании при 80°C в течение суток. К реакционной смеси добавляли 1,5 г SiO₂ и 5 мл этилового спирта и перемешивали при 80°C еще 24 ч. Смесь охлаждали, осадок отфильтровывали, многократно промывали этанолом, ацетоном и высушивали в вакууме. Выход составил 1,6 г. По данным ТДА, содержание органической части составило 20%. ИК: ν/cm⁻¹: 1510 (C=O); 1630 (C=N); 3400 (O-H).

промышленывали этанолом, ацетоном и высушивали в вакууме. Выход составил 1,6 г. По данным ТДА, содержание органической части составило 20%. ИК: ν/cm⁻¹: 1510 (C=O); 1630 (C=N); 3400 (O-H).

Модификация силикагеля (3-хлоропропил)триметоксисиланом (L₂) проводили по методике [7]. К раствору 3 ммоль (0,204 г) имидазола в 50 мл толуола добавляли 3 ммоль (0,552 мл) (3-хлоропропил)-триметоксисилана, кипятили при перемешивании при 80°C в течение суток. К реакционной смеси добавляли 1,5 г SiO₂ и 5 мл этилового спирта и перемешивали при 80°C еще 24 ч. Смесь охлаждали, осадок отфильтровывали, многократно промывали этанолом, ацетоном и высушивали в вакууме. Выход составил 1,58 г. По данным ТДА, содержание органической части составило 8,5%. ИК: ν/cm⁻¹: 1631 (C=N).

Иммобилизация металлопорфиринов 2, 3 на поверхность силикагеля (R₄FePL₁, R₄FePL₂, R₄MnPL₁, R₄MnL₂). К раствору металлопорфиринов (R₄FePCl, R₄MnPCl) в CH₂Cl₂ добавляли L₁ и L₂. Реакцию проводили при постоянном перемешивании в течение 24 ч. Реакционную смесь отфильтровали и многократно промывали CH₂Cl₂ и высушивали в течение 3 ч при 60°C.

Окисление алканов и алkenов перекисью водорода [8]. Каталитическое окисление циклогексена, циклооктена, циклогексана и гексана перекисью водорода проводили в стеклянных реакторах при высокой скорости перемешивания, исключающей наличие диффузионных ограничений при постоянной температуре реакционной среды 20°C. В качестве растворителей использовали CH₃CN и CH₂Cl₂. Анализ продуктов проводили методами ГЖХ и масс-спектрометрии. Для проведения реакции в стеклянные реакторы помещали металлопорфирин на носителе или без носителя в количестве 1 мкмоль, после чего добавляли 650 мкл CH₃CN и 350 мкл CH₂Cl₂. Далее в реакционную смесь поочередно добавляли сокатализатор, CH₃COONH₄ в количестве 0,77 мг (0,01 ммоль) и субстрат в количестве 0,8 ммоль. Затем добавляли этанол – 23,2 мкл (0,1 М) раствора ацетофенона в ацетонитриле. И последним в реакционную смесь добавляли окислитель, 20 мкл 0,1 М раствора пероксида водорода в ацетонитриле. В случае использования добавок металлопорфиринов на носителях реакцию проводили 24 ч, а в случае металлопорфиринов, не иммобилизованных на носителях – в течение 1 ч.

СПИСОК ЛИТЕРАТУРЫ

1. Keppler B. // Metal Complexes in Cancer Chemotherapy. N. Y., 1993.
2. Milaeva E., Shpakovsky D. // Macrovol. Symp. 2003. **204**. P. 191.
3. Milgrom L.R. // Tetrahedron. 1983. **39**. P. 3895.
4. Milgrom L.R., Jones C.C., Harriman A. // J. Chem. Soc. Perkin Trans 2. 1988. **1**. P. 71.
5. Jones R.D., Summerville D.A., Basolo F. // J. Am. Chem. Soc. 1978. **100**. P. 4416.
6. Armatas G.S., Salmas C.E., Louloudi M. et al. // Langmuir. 2003. **19**. P. 3128.
7. Louloudi M., Mitopoulou K., Evangelou E. et al. // J. Mol. Catal. A: Chemical. 2003. **198**. P. 231.
8. Martinez-Lorente M. A., Battioni P., Kleemiss W. et al. // J. Mol. Catal. A: Chemical. 1996. **113**. P. 343.
9. Edwards L., Dolphin D.H., Gouterman M., Adler A.D. // J. Mol. Spectrosc. 1971. **38** (1) P. 16.
10. Battioni P., Renaud J. P., Bartoli J. F. et al. // J. Am. Chem. Soc. 1988. **110**. P. 8462.
11. Baciochi E., Boshi T., Galli C. et al. // Tetrahedron. 1997. **53** N 12. P. 4497.
12. Metalloporphyrins in Catalytic Oxidation. N.Y., 1994. P. 343.
13. Doro F.G., Lindsay Smith J.R., Ferreira A.G. et al. // J. Mol. Catal. A: Chemical. 2000. **164**. P. 97.
14. Vinhado F.S., Prado-Manso C.M.C., Sacco H.C., Iamamoto Y. // Mol. Catal. A: Chemical. 2001. **174**. P. 279.

Поступила в редакцию 09.04.07

THE INHIBITORY EFFECT OF 2,6-DI-TERT-BUTYLPHENOL GROUPS IN IRON AND MANGANESE PORPHYRINS ON THEIR CATALYTIC ACTIVITY IN HYDROCARBON OXIDATION BY HYDROGEN PEROXIDE

O.A. Gerasimova, D.B. Shpakovsky, E.R. Milaeva, M. Louloudi, N. Hadjiliadis

(Division of Organic Chemistry)

Iron and manganese porphyrins with 2,6-di-tert-butylphenol groups (R_4PfeCl , R_4PMnCl) were synthesized for the immobilization on silica surface via coordination with spacers. The activity of these compounds in alkanes and alkenes oxidation was studied.